

- Soviet Socialist Republic]. Kiev: Naukova Dumka, 1970, (15), 32 p. (Rus.)
3. Pat. 4543240 A USA, B 01 J 12/00. Fluidized beds, silicon carbide production / William M. Goldberger // Applicant and patent holder: Superior Graphite Co. — № 06/691,076; applic. date: 14.01.1985; publ. date: 24.09.1985.
 4. Borodulya V.A., Vinogradov L.M., Grebenkov A.G., Mikhailov A.A., Rabinovich O.S. Sintez melkozernistogo karbida kremnija metodom karbotermicheskogo vosstanovlenija kremnezjoma v jelektrotermicheskem kipjashhem sloe [Synthesis of fine silicon carbide by carbothermal reduction of silica in the electrothermal fluidized bed]. *Tezisy dokladov IX Mezhdunarodnaja konferencija «Kremnij-2012»* [IX International Conference «Silicon-2012». Book of abstracts]. St.Petersburg, 9–13 July 2012. St.Petersburg : Fiziko-tehnicheskij institut [Ioffe Institute], 2012, p. 280 (Rus.)
 5. Bogomolov V.O. Kozhan A.P., Bondarenko B.I., Khovavko O.I., Simeyko K.V. Kapsulirovaniye kvarcevogo peska piroglerodom v jelektrotermicheskem psevdoozhizhennom sloe [Research of the process of quartz sand encapsulation by pyrolytic carbon]. *Jenergotehnologii i resursozberezenie [Energy Technologies and Resource Saving]*, 2013, (5), pp. 36–40. (Rus.)
 16. Gubynskyi M.V., Barsukov I. V., Fedorov S.S., Livitan M. V., Gogotsi O.G., Upendra S. Rohatgi Study of aerodynamic properties of continuous high temperature reactors // Conference ASME 2013 Fluids Engineering Division Summer Meeting, Incline Village, NV, July 2013, 7 p.
 7. Simeyko K. Thermal influence of microdischarge plasma on the process of receiving of quartz sand encapsulated by pyrocarbon. *Proceedings of the National Aviation University*. 2014, (2), pp. 131–135. (Eng.)
 8. Pat. 86131 Ukraine, B 01 J 8/18 (2006.01), B 01 J 12/00. Reaktor dlja visokotemperurnih procesiv [Reactor for high temperature processes] / V.O. Bogomolov O.P. Kozhan, B.I. Bondarenko, K.V. Simeyko; Applicant and patent holder: Gas institute of National academy of science of Ukraine. — № u201309320; applic. date: 25.07.2013; publ. date: 10.12.2013. — Bull № 23. (Ukr.)
 9. Chumak V.L. Ivanov S.V., Maksimjuk M.R. Osnovi naukovih doslidzhen' [Bases of scientific researches]. Kiev : Nacionalnyi aviacionnyi universitet, 2009, 304 p. (Ukr.)
 10. Bogomolov V.A. Issledovaniye processa i razrabotka tehnologii piroliza prirodnogo gaza v dispersnyh sredah [Research of process and technology development of pyrolysis of natural gas in dispersion phases] : dissertation of the candidate of technical sciences. Kiev, 1982, 211 p. (Rus.)

Received February 17, 2015

УДК 621.184.4/.5

**Галянчук І.Р., Мисак Й.С., докт. техн. наук., проф.,
Кузнецова М.Я., канд. техн. наук**

**Національний університет «Львівська політехніка»
вул. С. Бандери, 12, 79013 Львів, Україна, e-mail: kuznetsovam83@gmail.com**

Визначення наслідків режимних змін повітропідігрівача котла ТП-100

Розглянуто основні проблеми, які виникають під час вирішення задачі оптимізації роботи теплотехнічного устаткування, коли в умовах експлуатації фактичний стан його істотно відрізняється від проектного. Застосовано метод режимних розрахунків, який дає змогу визначити наслідки внесених змін у тепlop передавальну систему на основі відомих тільки вхідних та вихідних температур теплоносіїв у початковому режимі. Котел ТП-100 зображене у вигляді поєднання конвективних поверхонь нагріву (повітропідігрівач, економайзер, первинний пароперегрівач та проміжний пароперегрівач), які розглядаються як конвективна тепlop передавальна система котла. Розроблено спеціальну структурну схему та відповідну математичну модель повітропідігрівача котла ТП-100 як системи взаємозв'язаних теплообмінників. Отримані результати можна використати як новий методичний апарат розрахунків повітропідігрівачів, а також як апарат для виявлення можливих удосконалень об'єкту. *Бібл. 7, рис. 3, табл. 2.*

Ключові слова: тепlop передавальна система, поверхні нагріву, режимні розрахунки, температура теплоносіїв, повітропідігрівач.

Вирішення задачі оптимізації роботи тепло-технічного устаткування ТЕС, фактичний стан якого внаслідок тривалої експлуатації істотно відрізняється від проектного, є складною технологічною проблемою. Основні труднощі виникають через те, що в експлуатаційних умовах практично недоступною є потрібна для перевірочных розрахунків інформація про фактичний стан устаткування, його зношенність та забруднення поверхонь нагріву, стан нещільностей, втрати теплоносій у газоходах та ін.[1, 2].

Таким чином, для оптимізації та налагодження роботи теплотехнічного устаткування необхідно використовувати принципово інші методики режимних розрахунків та дослідженій поверхонь нагріву котла: окремих теплообмінних вузлів та всієї їх сукупності у взаємодії. При цьому необхідно використовувати найбільш доступну в умовах роботи устаткування початкову інформацію: значення температури теплоносій в одному з відомих режимів роботи устаткування. Результатами таких розрахунків є залежності значень переданої між тепло-

носіями потужності та значень вихідних температур теплоносій від зміни вхідних температур, а також від відносної зміни поверхні тепlopерації та витрати теплоносій [3–5].

Для аналізу та дослідження роботи теплоенергетичних об'єктів зручним є використання технологічних схем, у яких елементи установок поділяють за конструктивними чи технологічними ознаками, однак ефективнішим є зображення енергоустановки у вигляді системи, елементи якої виділяються за термодинамічними ознаками: стиснення та розширення, генерування та поглинання тепла, розділення та змішування теплоносій, тепlopерація, атмосфера. Вказані восьми типів елементів достатньо, щоб зобразити довільну енергоустановку у вигляді термодинамічної системи. При цьому для зображення комплексу конвективних поверхонь нагріву котла достатнім є використання лише трьох типів елементів: конвективні теплообмінники (з шістьма варіантами схем руху теплоносій); дільники потоків теплоносій; змішувачі потоків теплоносій [6].

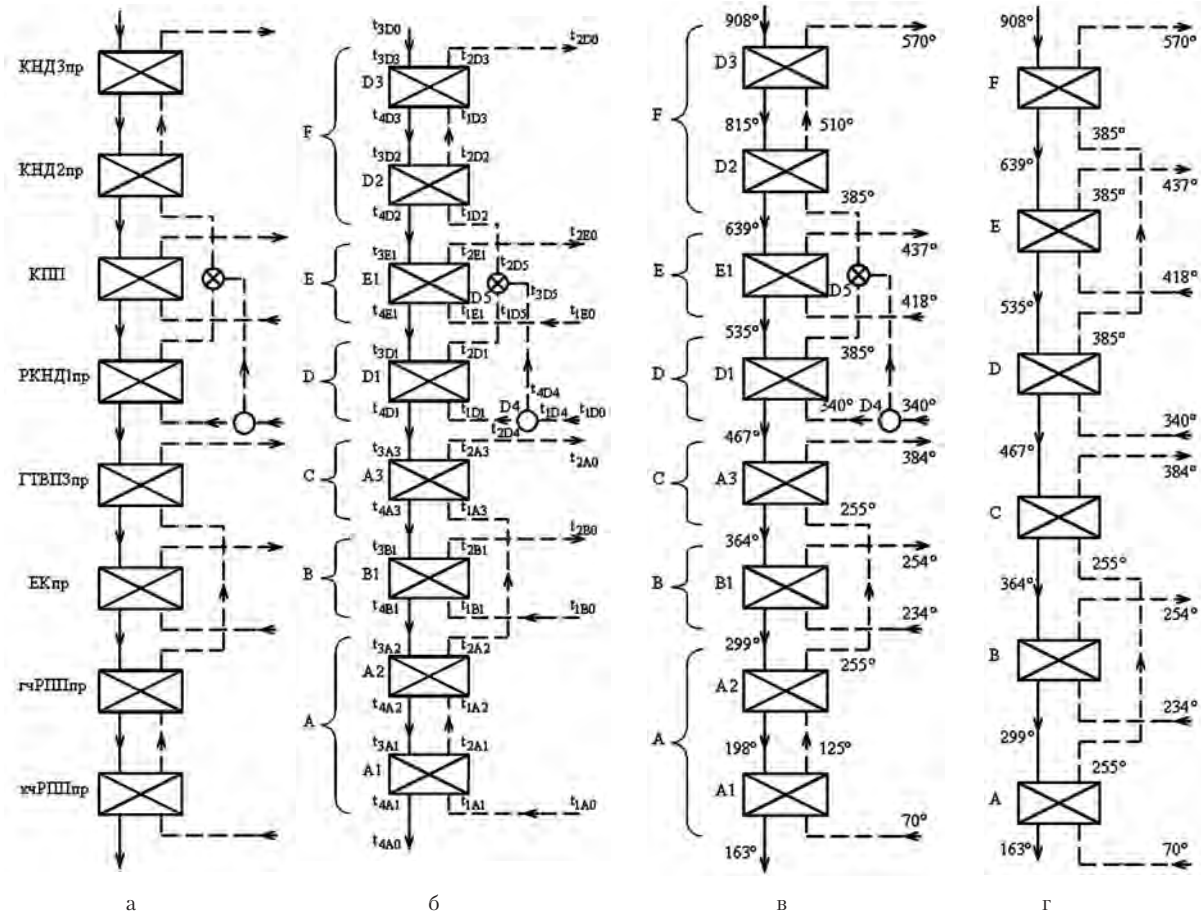


Рис.1. Структурна схема конвективної системи котла ТП-100: а — первинна інформація; б — позначення елементів, підсистем при моделюванні; в, г — значення температур при моделюванні.

Так, котел ТП-100 може бути представлений у вигляді поєднання конвективних поверхонь нагріву (повітропідігрівач, економайзер, первинний та проміжний пароперегрівачі), які розглядаються як конвективна тепло передавальна система котла (рис.1) та використовуються для розроблення схем моделей найбільш типових задач режимних досліджень котлів ТП-100.

Під час моделювання використовували систему позначенів елементів та форми зображення схем тепло передавальної системи з нанесенням номерів елементів, як показано на рис.1, а, б, та позначені температур теплоносіїв – на рис.1, в, г.

Для розуміння системи позначенів елементів тепло передавальної системи наведено пояснення до схем.

1. Тепло передавальна система котла ТП-100 має шість підсистем:

- повітропідігрівач (A₁, A₂), який об'єднує два теплообмінники (РПП_{пр});
- економайзер (B₁), який складається з одного теплообмінника (Е_{кпр});
- повітропідігрівач (A₃), який складається з одного теплообмінника (ГТВП_{3пр});
- проміжний пароперегрівач (D₁), який складається з одного теплообмінника (РКНД_{1пр}), один дільник та один змішувач потоків;
- первинний пароперегрівач (E₁), який складається з одного теплообмінника (КПП);
- проміжний пароперегрівач (D₂, D₃) який об'єднує два теплообмінники (КНД_{пр}).

Проміжний пароперегрівач включає також внутрішній потік – обвід пари – як режимний чинник.

2. Всі елементи пронумеровані в єдиній послідовності по всій системі. Індекс елемента складається з букви (індекс підсистеми) та цифри (номер елементу).

3. Індекси температур:

- перша цифра «1» та «2» – вхід та вихід теплоносія (елемента, підсистеми, системи), який нагрівається; «3» та «4» – вхід та вихід гріючого теплоносія (димових газів);
- друга цифра «0» – загальний вхід чи вихід системи;
- буква – індекс підсистеми;
- кінцева цифра – номер елемента.

4. Прийнято, що всі теплообмінники – протичійні.

5. Прийнято, що в базовому режимі, для якого надана початкова інформація, обвід пари у проміжному пароперегрівачі відключений.

6. Прийнято, що у базовому режимі передана теплова потужність у теплообмінниках A₁ та A₂, D₂ та D₃ є однаковою.

7. Прийнято, що у межах кожної підсистеми питома теплоємність кожного теплоносія не змінюється.

8. Прийнято, що у каналах, які з'єднують елементи, температура теплоносія на вході та виході є однаковою.

Для проведення режимних розрахунків системи конвективних поверхонь нагріву діючих котлів, для яких після тривалої експлуатації змінюються умови тепло передачі та витрати теплоносіїв (забруднення поверхонь нагріву) необхідне розроблення нових методів розрахункових досліджень. Для ефективного застосування такі методи мають використовувати початкову інформацію, в якій замість важкодоступних параметрів тепло передачі та витрати теплоносіїв можна використати відносно доступні в експлуатаційних умовах значення вхідних та вихідних температур теплоносіїв; у конвективних теплообмінниках взаємозв'язки вхідних та вихідних температур теплоносіїв приймаються лінійними; процес розрахунків істотно уніфікується та спрощується при використанні узагальнених безрозмірних параметрів (інваріантів) [7].

Для розробленого методу режимних розрахунків діючих котлів характерні наведені нижче особливості.

1. Сукупність конвективних поверхонь нагріву котла розглядається як тепло передавальна система (ТПС). Основними елементами такої системи є одноходові конвективні теплообмінники з різними схемами руху теплоносіїв (протичійні, прямотечійні, чотири варіанти поперхесного руху теплоносіїв), а також ідеальні дільники та змішувачі потоків теплоносіїв.

Підсистемами ТПС є групи взаємопов'язаних елементів, які забезпечують нагрів конкретного теплоносія (повітря, води, пари).

2. Умовою ідеалізації є те, що зміни температур теплоносіїв (у реальних межах) не впливають на значення витрати та теплоємкості теплоносіїв, а також на площину та коефіцієнт тепло передачі стінки теплообмінників.

3. Прийнято такий поділ параметрів:

- режимні (температури теплоносіїв на вході, виході елементів, підсистем та системи);
- об'єктні – теплоємність потоку ($G \cdot c$) та тепло передавальність стінки ($k \cdot F$), де G , c – витрата теплоносія та його питома теплоємність; k , F – коефіцієнт тепло передачі та площа стінки теплообмінника.

4. Враховано, що у конвективних теплообмінниках існує лінійна залежність між вихідними та вхідними температурами теплоносіїв.

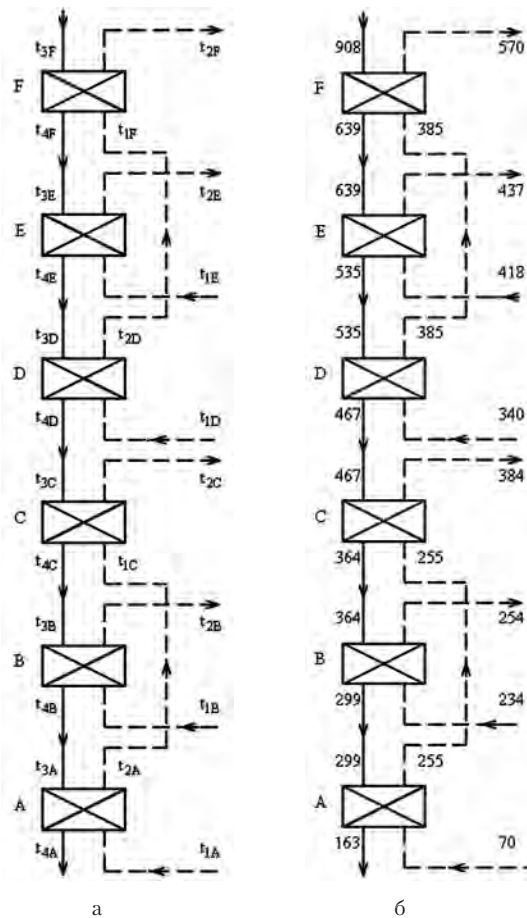


Рис.2. Базова схема тепlop передавальної системи котла ТП-100: а — позначення елементів, підсистем при моделюванні; б — значення температур при моделюванні (цифрами вказані значення температури (°С) теплоносій у початковому режимі).

5. Застосовуються безрозмірні узагальнені параметри. Значення кожного з них може бути визначено на основі різних варіантів початкової інформації: відомих лише вхідних та вихідних температур; відомих тільки об'єктних (не температурних) параметрів. Це забезпечує компактність запису математичних моделей та графічного зображення режимних характеристик, а також уніфікацію форми запису математичних моделей елементів, підсистем та систем.

6. Застосовується за певних умов заміщення складних підсистем більш простими режимно-подібними підсистемами, чи навіть елементами.

7. Забезпечені проведення розрахунків прямыми обчисленнями, без послідовних наближень.

8. Для проведення режимних розрахунків необхідна така початкова інформація:

- схема з'єднань підсистем у системі;
- схема з'єднань елементів у підсистемах;
- тип елементів;

— температури теплоносій на вході та виході системи;

— температури теплоносій на вході та виході елементів, у яких здійснюється режимна зміна об'єктних параметрів (для теплообмінників — додатково схема руху теплоносій).

Потреба визначення впливу всіх можливих конструктивних та режимних змін на показники роботи всіх елементів енергоустановки може розглядатися лише як крайній теоретичний випадок. Як правило, необхідними є дослідження впливу лише одного чи декількох факторів на окремі показники роботи установки. При цьому можливо є дуже велика кількість варіантів таких конкретних задач. Для конкретних умов та потреб формуються відповідна структурна схема та математична модель об'єкту.

У певних випадках існує потреба в достатньо універсальних схемах та моделях для вирішення групи задач.

Режимні розрахунки потрібні у таких випадках:

— для визначення взаємозв'язків змін температури теплоносій (наприклад, залежність зміни температури відхідних газів котла від температури холодного повітря);

— для дослідження впливу на об'єкт відносних змін витрати та теплоємності тепло-

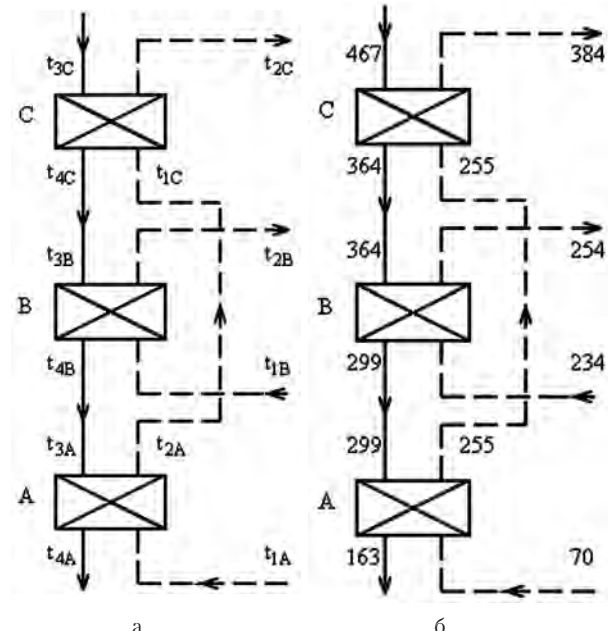


Рис.3. Базова схема повітропідігрівача котла ТП-100, її початкова система рівнянь та параметри: а — позначення елементів, підсистем при моделюванні; б — значення температур при моделюванні; А — повітропідігрівач РПП_{пр}; В — економайзер ЕК_{пр}; С — повітропідігрівач ГТВП_{зпр} (цифрами вказані значення температури (°С) теплоносій у початковому режимі).

Таблиця 1. Формули режимних (об'єктних) коефіцієнтів

t_{iN}	K_{iNIA}	K_{iNIB}	K_{iN3C}
t_{2C}	$\frac{(1 - W_{2C})(1 - W_{2A})}{1 - W_{2A}W_{4B}(1 - W_{4C})}$	$\frac{W_{2A}(1 - W_{4B})(1 - W_{2C})}{1 - W_{2A}W_{4B}(1 - W_{4C})}$	$\frac{W_{2C} + W_{2A}W_{4B}(W_{4C} - W_{2C})}{1 - W_{2A}W_{4B}(1 - W_{4C})}$
t_{4C}	$\frac{(1 - W_{4C})(1 - W_{2A})}{1 - W_{2A}W_{4B}(1 - W_{4C})}$	$\frac{W_{2A}(1 - W_{4B})(1 - W_{4C})}{1 - W_{2A}W_{4B}(1 - W_{4C})}$	$\frac{W_{4C}}{1 - W_{2A}W_{4B}(1 - W_{4C})}$
t_{2B}	$\frac{W_{2B}(1 - W_{4C})(1 - W_{2A})}{1 - W_{2A}W_{4B}(1 - W_{4C})}$	$\frac{(1 - W_{2B}) + W_{2A}(1 - W_{4C})(W_{2B} - W_{4B})}{1 - W_{2A}W_{4B}(1 - W_{4C})}$	$\frac{W_{2B}W_{4C}}{1 - W_{2A}W_{4B}(1 - W_{4C})}$
t_{4B}	$\frac{W_{4B}(1 - W_{4C})(1 - W_{2A})}{1 - W_{2A}W_{4B}(1 - W_{4C})}$	$\frac{(1 - W_{4B})}{1 - W_{2A}W_{4B}(1 - W_{4C})}$	$\frac{W_{4B}W_{4C}}{1 - W_{2A}W_{4B}(1 - W_{4C})}$
t_{2A}	$\frac{1 - W_{2A}}{1 - W_{2A}W_{4B}(1 - W_{4C})}$	$\frac{W_{2A}(1 - W_{4B})}{1 - W_{2A}W_{4B}(1 - W_{4C})}$	$\frac{W_{2A}W_{4B}W_{4C}}{1 - W_{2A}W_{4B}(1 - W_{4C})}$
t_{4A}	$\frac{(1 - W_{4A}) + W_{4B}(1 - W_{4C})(W_{4A} - W_{2A})}{1 - W_{2A}W_{4B}(1 - W_{4C})}$	$\frac{W_{4A}(1 - W_{4B})}{1 - W_{2A}W_{4B}(1 - W_{4C})}$	$\frac{W_{4A}W_{4B}W_{4C}}{1 - W_{2A}W_{4B}(1 - W_{4C})}$

Формування математичної моделі базової схеми повітропідігрівача:

$$t_{4C} = (1 - W_{4C})t_{1C} + W_{4C}t_{3C} = (1 - W_{4C})(1 - W_{2A})t_{1A} + W_{2A}[(1 - W_{4B})t_{1B} + W_{4B}t_{4C}] + W_{4C}t_{3C} = \\ = \frac{(1 - W_{4C})(1 - W_{2A})}{1 - W_{2A}W_{4B}(1 - W_{4C})}t_{1A} + \frac{W_{2A}(1 - W_{4B})(1 - W_{4C})}{1 - W_{2A}W_{4B}(1 - W_{4C})}t_{1B} + \frac{W_{4C}}{1 - W_{2A}W_{4B}(1 - W_{4C})}t_{3C} = t_{3B};$$

$$t_{2A} = (1 - W_{2A})t_{1A} + W_{2A}t_{3A} = (1 - W_{2A})t_{1A} + W_{2A}[(1 - W_{4B})t_{1B} + W_{4B}t_{4C}] = \\ = \frac{1 - W_{2A}}{1 - W_{2A}W_{4B}(1 - W_{4C})}t_{1A} + \frac{W_{2A}(1 - W_{4B})}{1 - W_{2A}W_{4B}(1 - W_{4C})}t_{1B} + \frac{W_{2A}W_{4B}W_{4C}}{1 - W_{2A}W_{4B}(1 - W_{4C})}t_{3C} = t_{1C};$$

$$t_{4A} = (1 - W_{4A})t_{1A} + W_{4A}t_{3A} = (1 - W_{4A})t_{1A} + W_{4A}[(1 - W_{4B})t_{1B} + W_{4B}t_{4C}] = \\ = \frac{(1 - W_{4A}) + W_{4B}(1 - W_{4C})(W_{4A} - W_{2A})}{1 - W_{2A}W_{4B}(1 - W_{4C})}t_{1A} + \frac{W_{4A}(1 - W_{4B})}{1 - W_{2A}W_{4B}(1 - W_{4C})}t_{1B} + \frac{W_{4A}W_{4B}W_{4C}}{1 - W_{2A}W_{4B}(1 - W_{4C})}t_{3C};$$

$$t_{2B} = (1 - W_{2B})t_{1B} + W_{2B}t_{3B} = (1 - W_{2B})t_{1B} + W_{2B}t_{4C} = \\ = \frac{W_{2B}(1 - W_{4C})(1 - W_{2A})}{1 - W_{2A}W_{4B}(1 - W_{4C})}t_{1A} + \frac{(1 - W_{2B}) + W_{2A}(1 - W_{4C})(W_{2B} - W_{4B})}{1 - W_{2A}W_{4B}(1 - W_{4C})}t_{1B} + \frac{W_{2B}W_{4C}}{1 - W_{2A}W_{4B}(1 - W_{4C})}t_{3C};$$

$$t_{4B} = (1 - W_{4B})t_{1B} + W_{4B}t_{3B} = (1 - W_{4B})t_{1B} + W_{4B}t_{4C} = \\ = \frac{W_{4B}(1 - W_{4C})(1 - W_{2A})}{1 - W_{2A}W_{4B}(1 - W_{4C})}t_{1A} + \frac{(1 - W_{4B})}{1 - W_{2A}W_{4B}(1 - W_{4C})}t_{1B} + \frac{W_{4B}W_{4C}}{1 - W_{2A}W_{4B}(1 - W_{4C})}t_{3C} = t_{3A};$$

$$t_{2C} = (1 - W_{2C})t_{1C} + W_{2C}t_{3C} = (1 - W_{2C})t_{2A} + W_{2C}t_{3C} = \\ = \frac{(1 - W_{2C})(1 - W_{2A})}{1 - W_{2A}W_{4B}(1 - W_{4C})}t_{1A} + \frac{W_{2A}(1 - W_{4B})(1 - W_{2C})}{1 - W_{2A}W_{4B}(1 - W_{4C})}t_{1B} + \frac{W_{2C} + W_{2A}W_{4B}(W_{4C} - W_{2C})}{1 - W_{2A}W_{4B}(1 - W_{4C})}t_{3C}.$$

носій в чи площі та умов теплопередачі у поверхнях нагріву;

— для аналізу впливу обводів, рециркуляції, перетоків, присмоктів та витікань теплоносій;

— для побудови теплових чи температурних характеристик установок, їх підсистем та елементів;

— для визначення поправок до нормативних характеристик устаткування;

— для визначення чутливості до режимних змін;

— для діагностування причин відхилення показників роботи об'єкту від проектних чи очікуваних.

Початковою інформацією для розроблення схеми моделі для найбільш типових задач режимних досліджень та конкретних режимних розрахунків були значення температур середовищ (теплоносіїв) на вході та виході з поверхонь нагріву в котлах ТП-100 Бурштинської ТЕС.

Як відзначалось вище, тепlop передавальна система котла ТП-100 має шість основних підсистем. Особливістю системи є те, що через кожну підсистему послідовно проходить один і той самий гріючий теплоносій (димові гази). Нагрівані теплоносії у всіх підсистемах є різними (повітря, вода, пар). Усі підсистеми є двопотічними (у кожній з них є по два входи та два виходи теплоносіїв).

Якщо режимна задача спрямована лише на визначення взаємозв'язків, взаємопливу підсистем без аналізу внутрішніх змін у підсистемах, то кожна підсистема може бути замінена режимно-подібним теплообмінником. У такого теплообмінника значення вхідних та вихідних температур теплоносіїв мають бути такими, як на відповідних входах та видах у підсистему.

У підсумку схема тепlop передавальної системи котла набуває вигляду, який зображене на рис.2. Елементами системи є підсистеми А, В, С, D, E, F.

Ця система є п'ятипотічною: з п'ятьма входами потоків та відповідно з п'ятьма їх виходами. Система розглядається як автономна: усі вхідні потоки є незалежними. Фактично зміни температури повітря, води та пари дещо впливають на температуру газів у паливні, яка, в свою чергу, впливає на температуру газів на вході у систему. Спеціальний аналіз показав, що цей вплив є слабким, тому у більшості практичних задач його можна не враховувати.

Інформація про стан підсистеми та зміни у ній передається іншим підсистемам тільки значеннями вихідних температур чи їх змінами.

З базової схеми (див. рис.2) видно, що зміни у повітропідігрівачі впливають тільки на його вихідні температури та на економайзер, але на пароперегрівач вони не впливають. Зміни в економайзері впливають на його вихідні температури та на температури у повітропідігрівачі, але на пароперегрівач вони не впливають. Зміни у пароперегрівачі впливають на всі підсистеми.

У даній роботі розроблено математичну модель схеми повітропідігрівача котла ТП-100. Розрахунки значень режимних коефіцієнтів для початкового стану наведені на рис.3 та у табл.1, 2.

Таблиця 2. Значення K_{iN} при початкових значеннях об'єктних параметрів

t_{iN}	K_{iN1A}	K_{iN1B}	K_{iN1C}	ΣK_{iN}
t_{2C}	0,0936	0,1968	0,7096	1,0
t_{4C}	0,1161	0,2442	0,6397	1,0
t_{2B}	0,0179	0,8837	0,0984	1,0
t_{4B}	0,0581	0,6221	0,3198	1,0
t_{2A}	0,2390	0,5026	0,2584	1,0
t_{4A}	0,6175	0,2526	0,1299	1,0

Рівняння елементів:

$$\begin{aligned} t_{2N} &= (1 - W_{2N}) t_{1N} + W_{2N} t_{3N}; \\ W_{2C} &= (384 - 255)/(467 - 255) = 0,6085; \\ t_{4N} &= (1 - W_{4N}) t_{1N} + W_{4N} t_{3N}; \\ W_{4C} &= (364 - 255)/(467 - 255) = 0,5142; \\ N &\in \{A, B, C\}. \end{aligned}$$

Рівняння з'єднань:

$$\begin{aligned} t_{3B} &= t_{4C}; \\ W_{2B} &= (254 - 234)/(364 - 234) = 0,1538; \\ t_{3A} &= t_{4B}; \\ W_{4B} &= (299 - 234)/(364 - 234) = 0,5000. \end{aligned}$$

Узагальнені параметри елементів:

$$\begin{aligned} W_{2N} &= (t_{2N} - t_{1N})/(t_{3N} - t_{1N}); \\ W_{2A} &= (255 - 70)/(299 - 70) = 0,8079; \\ W_{4N} &= (t_{4N} - t_{1N})/(t_{3N} - t_{1N}); \\ W_{4A} &= (163 - 70)/(299 - 70) = 0,4061. \end{aligned}$$

Узагальнений вид моделі:

$$\begin{aligned} t_{2N} &= K_{2N1A} t_{1A} + K_{2N1B} t_{1B} + K_{2N3C} t_{3C}; \\ t_{4N} &= K_{4N1A} t_{1A} + K_{4N1B} t_{1B} + K_{4N3C} t_{3C}; \\ K_{iN1A} + K_{iN1B} + K_{iN1C} &= 1,0. \end{aligned}$$

Взаємозв'язки температур у схемі повітропідігрівача при незмінних початкових значеннях об'єктних параметрів.

Загальний вид математичної моделі:

$$t_{iN} = K_{iN1A} t_{1A} + K_{iN1B} t_{1B} + K_{iN3C} t_{3C},$$

де K_{iN} – коефіцієнт, який охоплює виключно об'єктні параметри ТПС.

Для конкретного t_{iN} існує рівність $\Sigma K_{iN} = 1,0$, де N – символ елементу ТПС ($N \in \{A, B, C\}$).

Взаємозв'язки температур:

$$\begin{aligned}t_{2C} &= 0,0936 t_{1A} + 0,1968 t_{1B} + 0,7096 t_{3C}; \\t_{4C} &= 0,1161 t_{1A} + 0,2442 t_{1B} + 0,6397 t_{3C}; \\t_{2B} &= 0,0179 t_{1A} + 0,8837 t_{1B} + 0,0984 t_{3C}; \\t_{4B} &= 0,0581 t_{1A} + 0,6221 t_{1B} + 0,3198 t_{3C}; \\t_{2A} &= 0,2390 t_{1A} + 0,5026 t_{1B} + 0,2584 t_{3C}; \\t_{4A} &= 0,6175 t_{1A} + 0,2526 t_{1B} + 0,1299 t_{3C}.\end{aligned}$$

Взаємозв'язки змін температур:

$$\begin{aligned}\Delta t_{2C} &= 0,0936 \Delta t_{1A} + 0,1968 \Delta t_{1B} + 0,7096 \Delta t_{3C}; \\&\dots \dots\end{aligned}$$

$$\Delta t_{4A} = 0,6175 \Delta t_{1A} + 0,2526 \Delta t_{1B} + 0,1299 \Delta t_{3C}.$$

Для температури відхідних газів котла маємо:

$$t_{4A} = 0,6175 t_{1A} + 0,2526 t_{1B} + 0,1299 t_{3C};$$

$$\Delta t_{4A} = 0,6175 \Delta t_{1A} + 0,2526 \Delta t_{1B} + 0,1299 \Delta t_{3C}.$$

Тобто при підвищенні температури холодного повітря на 10 °C ($\Delta t_{1A} = 10$ °C) температура відхідних газів зросте на 6,2 °C ($\Delta t_{4A} = 6,2$ °C).

Якщо на 10 °C зросте температура димових газів на вході у повітропідігрівач, то температура відхідних газів збільшиться на 0,8 °C.

Якщо у підсистемі N змінюються її об'єктні параметри, то це відповідно впливає на значення W_{2N} та W_{4N} , а це, в свою чергу, — на значення режимних коефіцієнтів.

Висновки

Під час вирішення задачі оптимізації роботи теплотехнічного устаткування, коли в умовах експлуатації недоступною є інформація про фактичний стан устаткування, необхідно використовувати найбільш доступну в умовах роботи устаткування початкову інформацію (значен-

ня температури теплоносіїв у відомому режимі роботи устаткування).

На основі методу режимних розрахунків розроблено математичну модель для визначення наслідків режимних змін повітропідігрівника котла ТП-100.

Розроблена математична модель може бути ефективно використана для режимних розрахунків поверхонь нагріву діючих котлів на основі відомих лише температур теплоносіїв в одному з режимів роботи устаткування, при цьому витрати теплоносіїв, площа та стан поверхонь нагріву можуть бути невідомими.

Список літератури

- Исащенко В.П., Осипова В.А., Сукомел А.С. Теплопередача : Учеб. для втузов. — М. : Энергоиздат, 1981. — 416 с.
- Тепловой расчет котельных агрегатов (Нормативный метод) / Под ред. Н.В.Кузнецова. — М. : Энергия, 1978. — 296 с.
- Чабан О.Й. Анализ неноминальных режимов конвективных ступеней котлов // Наладочные и экспериментальные работы ОРГРЭС. — М. : Энергия, 1970. — Вып. 39. — С. 133–145.
- Чабан О.Й., Крук М.Т. Наладочные расчеты режимов теплоэнергетического оборудования энергоблоков // Энергетика и электрификация. Сер. Эксплуатация и ремонт электростанций : Экспресс-информ. — М. : Информэнерго, 1979. — Вып. 12. — С. 5–41.
- Чабан О.И., Остап'юк Р.В., Сташків М.Г. Взаимосвязь температур в сложных теплообменных установках // Машиностроение. — 1975. — № 4. — С. 28–30.
- Чабан О.Й., Галянчук І.Р. Моделі і розрахунки елементарних конвективних теплообмінників // Вісник ДУ «Львівська політехніка». Сер. Теплоенергетика. Інженерія довкілля. Автоматизація. — 1999. — № 365. — С. 32–40.
- Галянчук І.Р., Кузнецова М.Я. Математичні моделі теплопередавальної системи для дво- та триходового теплообмінників // Восточно-Европейский журнал передовых технологий. — 2013. — № 2/8 (62). — С. 29–32.

Надійшла до редакції 06.11.14

**Галянчук И.Р., Мысак Й.С., докт. техн. наук., проф.,
Кузнецова М.Я., канд. техн. наук**

**Национальный университет «Львовская политехника»
ул. С. Бандери, 12, 79013 Львов, Украина, e-mail: kuznetsovam83@gmail.com**

Определение последствий режимных изменений воздухоподогревателя котла ТП-100

Рассмотрены основные проблемы, возникающие при решении задачи оптимизации работы теплотехнического оборудования, когда в условиях эксплуатации фактическое состояние его существенно отличается от проектного. Применен метод режимных расчетов, позволяющий определить последствия внесенных изменений в теплопередающую систему на основе известных только входных и выходных температур теплоносителей в начальном режиме. Котел ТП-100 изображен в виде сочетания конвективных поверхностей нагрева (воздухоподогреватель, экономайзер, первичный пароперегреватель и промежуточный пароперегреватель), которые рассматриваются как конвективная теплопередающая система котла. Разработаны специальная структурная схема и соответствующая математическая модель воздухоподогревателя котла ТП-100 в виде системы взаимосвязанных теплообменников. Полученные результаты можно использовать как новый методический аппарат расчетов воздухоподогревателя, а также аппарат для выявления возможных усовершенствований объекта. *Библ. 7, рис. 3, табл. 2.*

Ключевые слова: теплопередающая система, поверхности нагрева, режимные расчеты, температура теплоносителей, воздухоподогреватель.

**Galyanchuk I.R., Mysak J.S., Doctor of Technical Sciences, Professor,
Kuznetsova M.Ja., Candidate of Technical Sciences**

**Lviv Polytechnic National University
12, S. Bandera Str., 79013 Lviv, Ukraine, e-mail: kuznetsovam83@gmail.com**

Determination of Consequences Regime Shifts of Boiler's TP-100 Air Heater

The main difficulties arising when solving thermotechnical equipment optimization problem, when actual equipment status under operation conditions considerably differs from the design status, are considered. Mode calculation method allowing to determine the consequences of the changes made in heat-transfer system based on known inlet and outlet temperatures of heat carriers in the initial mode is used. Boiler TP-100 is represented as a combination of convective heating surfaces (air heater, economizer, primary steam superheater and intermediate steam superheater), which is considered as a convective heat-transfer system of the boiler. Special structure chart and corresponding mathematical model of air heater of boiler TP-100 as a system of interconnected heat exchangers have been developed. The obtained results may be used as a new methodology of air heaters calculation, as well as a tool for detection of possible improvements of the object. *Bibl. 7, Fig. 3, Table 2.*

Key words: heat-transfer system, heating surfaces, mode calculations, heat carriers temperature, air heater.

References

1. Isachenko V.P., Osipova V.A., Sukomel A.S. Heat transfer. Moscow : Energoizdat, 1981, 416 p. (Rus.)
2. Thermal design of steam generating units (Normative method). Pod red. N.V.Kuzn'etsova. Moscow : Energiya, 1978, 296 p. (Rus.)
3. Chaban O.J. Analysis of non-nominal modes of convective stages of boilers. *Naladochnye i eksperimental'nyye raboty ORGRJeS*, 1970, iss. 39, pp.133–145. (Rus.)
4. Chaban O.J., Kruk M.T. Adjustment design of modes of heat-and-power equipment of power-generating units. *Energetika i elektrifikaciya. Seriya Eksploataciya i remont elektrostanciy, ekspress-informaciya*, 1979, iss.12, pp. 5–41. (Rus.)

5. Chaban O.I., Ostap'yuk R.V., Stashkiv M.G. Relationship of temperatures in complex heat exchange systems. *Mashinostroyeniye*, 1975, (4), pp. 28–30. (Rus.)
6. Chaban O.J., Galyanchuk I.R. Models and design of elementary convective heat exchangers. *Visnik DU «L'viv'ska politekhnika». Seriya Teploenergetyka. Inzheneriya doktov*. Avtomatyzaciya, 1999, (365), pp. 32–40. (Ukr.)
7. Galyanchuk I.R., Kuzn'etsova M.Ja. Mathematical models of heat-transfer system for double- and triple-pass heat exchangers. *Vostochno-Yevropeyskiy zhurnal peredovykh tekhnologiy*, 2013, 2/8 (62), pp. 29–32. (Ukr.)

Received November 6, 2014

Оргкомитет информирует Вас, что совместные VIII Международный симпозиум «ГОРЕНИЕ И ПЛАЗМОХИМИЯ» и Международная научно-техническая конференция «ЭНЕРГОЭФФЕКТИВНОСТЬ-2015»

будут проведены 16–18 сентября 2015 г. в Алматы, Казахстан

НАУЧНАЯ ПРОГРАММА

- | | |
|---|--|
| 1 Теория горения. Структура пламени. | 8 Самораспространяющийся высокотемпературный синтез |
| 2 Кинетика и механизм химических реакций | 9 Термические процессы при переработке нефти и газа |
| 3 Наноматериалы и нанотехнология | 10 Эффективность использования традиционных топливно-энергетических ресурсов |
| 4 Турбулентное горение | 11 Альтернативные топлива и возобновляемые источники энергии |
| 5 Моделирование химических процессов | 12 Низкотемпературная плазма в проблеме повышения энергетической эффективности |
| 6 Плазмохимия, фундаментальные и прикладные аспекты | 13 Общие проблемы энергоэффективности, экология и экономика |
| 7 Образование сажи и фуллеренов в процессах горения | |

Программа Симпозиума включает пленарные, устные и стендовые доклады.

Рабочие языки конференции — русский, английский.

Регламент выступления участников: доклад на пленарном заседании 20–25 минут, устные доклады — 10–15 минут.

ОФОРМЛЕНИЕ ДОКЛАДОВ

Регистрационная форма и название доклада принимаются оргкомитетом до 1 мая 2015 г. по e-mail: sestager@mail.ru

Оргкомитет планирует публикацию материалов. Электронный вариант доклада должен быть представлен в формате Word для Windows, шрифт: Times New Roman, 12 пт. Текст объемом не более 3 страниц в формате А4 печатается через 1 интервал без нумерации страниц с полями 2 см. Таблицы, схемы, рисунки должны иметь название. Абзацный отступ 1 см. Название доклада печатать жирным шрифтом ПРОПИСНЫМИ БУКВАМИ, далее через один интервал — жирным шрифтом строчными буквами: Инициалы и Фамилия автора (ов) и полное название учреждения, адрес, e-mail. Еще через один интервал — краткая аннотация (не более трех строк). Ниже через один интервал — непосредственно материал доклада. В конце списка литературы в соответствии с порядком упоминания работ в тексте. Ниже через интервал — аннотация на английском языке.

Оргкомитет принимает тезисы докладов до 1 июля 2015 г.

По окончании Симпозиума оргкомитет предполагает опубликовать расширенные доклады (объемом не более 20 страниц) участников Симпозиума в международных журналах «Eurasian Chemico-Technological Journal» и «Горение и плазмохимия» (Казахстан) и «Энерготехнологии и ресурсосбережение» (Украина).

Организационный взнос участников стран СНГ составляет 200 долл. США, из стран дальнего зарубежья — 300 долл. Оргвзносы можно оплачивать наличными по приезду на Симпозиум.

Важные даты:

1 мая 2015 г. — регистрационная форма и бронирование гостиницы

1 июля 2015 г. — представление тезисов докладов

Контактный адрес: РГП «Институт Проблем Горения» МОН РК, Республика Казахстан, г. Алматы, 050012, ул. Богенбай батыра 172, Тел. +7(727) 2924346, Факс : +7(727) 2925811.

Контактные лица: проф. С.Х. Акназаров — зам. председателя, Танирбергенова С. — секретарь оргкомитета, Тел. +7(727) 2923565, e-mail: sestager@mail.ru